



第3章 图像变换

3.1 图像的几何变换

3.2 图像的正交变换

3.3 傅里叶变换

3.4 离散余弦变换



3.1 图像的几何变换

■ 几何变换

图像几何变换的一般定义为：

$$g(x, y) = f(u, v) = f(p(x, y), q(x, y))$$

式中， $u = p(x, y)$ ， $v = q(x, y)$ 唯一的描述了空间变换，即将输入 图像 $f(u, v)$ 从 $u-v$ 坐标系变换为 $x-y$ 坐标系的输出图像 $g(x, y)$ 。

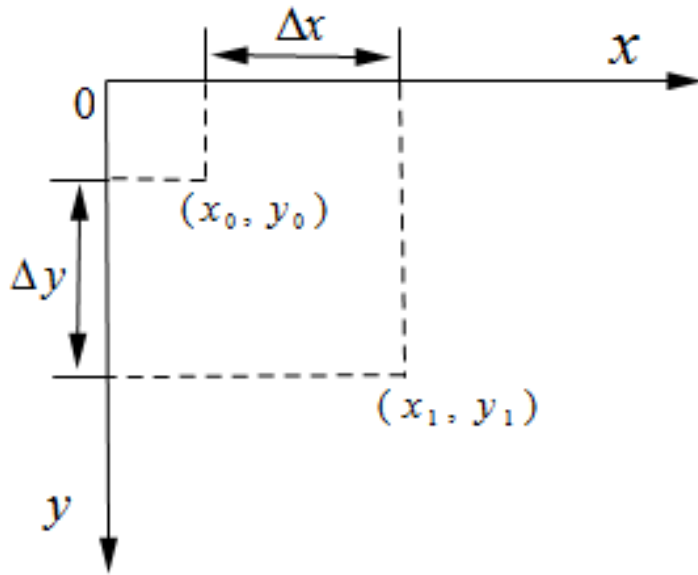


3.1 图像的几何变换

1、图像的平移(IMAGE TRANSLATION)

两点之间存在如下关系：

$$\begin{cases} x_1 = x_0 + \Delta x \\ y_1 = y_0 + \Delta y \end{cases}$$



像素点的平移



3.1 图像的几何变换

齐次坐标

2D图像中的点坐标 (x, y) 表示成齐次坐标 (H_x, H_y, H)

, 当 $H=1$ 时, 则 $(x, y, 1)$ 就称为点 (x, y) 的规范化齐次坐标。

规范化齐次坐标的前两个数是相应二维点的坐标, 没有变化, 仅在原坐标中增加了 $H=1$ 的附加坐标。

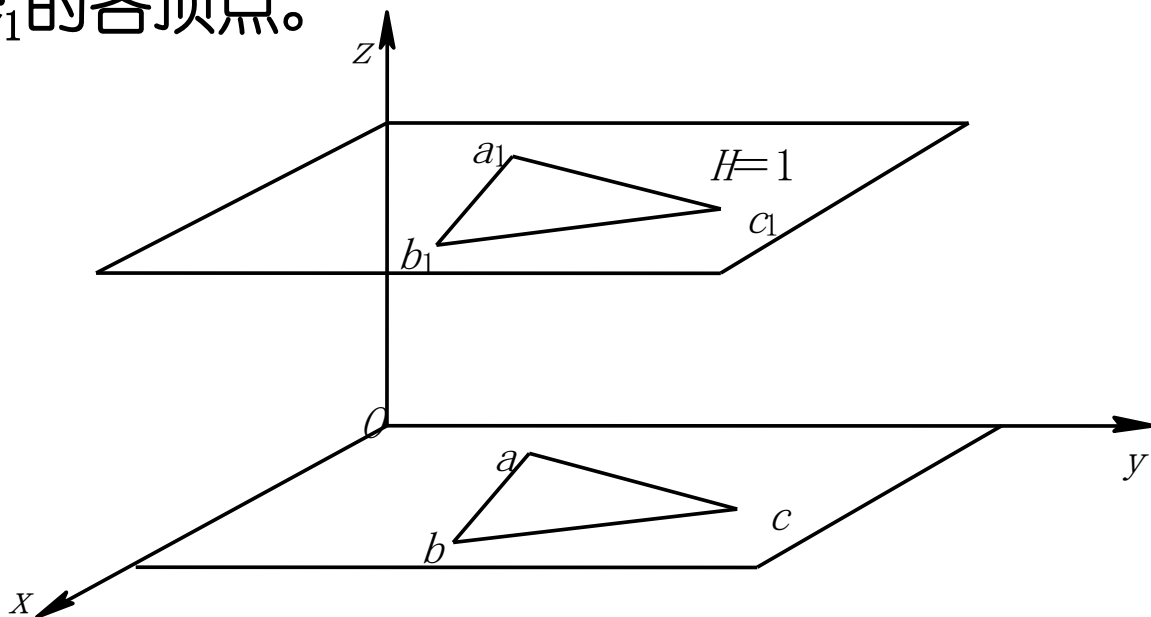
由点的齐次坐标 (H_x, H_y, H) 求点的规范化齐次坐标 $(x, y, 1)$, 可按如下公式进行:

$$x = \frac{H_x}{H} \quad y = \frac{H_y}{H}$$

3.1 图像的几何变换

齐次坐标

齐次坐标的几何意义相当于点 (x, y) 落在3D空间 $H=1$ 的平面上，如果将 XOY 平面内的三角形 abc 的各顶点表示成齐次坐标 $(x_i, y_i, 1)$ ($i=1, 2, 3$) 的形式，就变成 $H=1$ 平面内的三角形 $a_1b_1c_1$ 的各顶点。





3.1 图像的几何变换

1、图像的平移(IMAGE TRANSLATION)

$$\begin{cases} x_1 = x_0 + \Delta x \\ y_1 = y_0 + \Delta y \end{cases}$$

以矩阵形式表示平移前后的像素关系为：

$$\begin{bmatrix} x_1 \\ y_1 \\ 1 \end{bmatrix} = \begin{bmatrix} 1 & 0 & \Delta x \\ 0 & 1 & \Delta y \\ 0 & 0 & 1 \end{bmatrix} \begin{bmatrix} x_0 \\ y_0 \\ 1 \end{bmatrix}$$

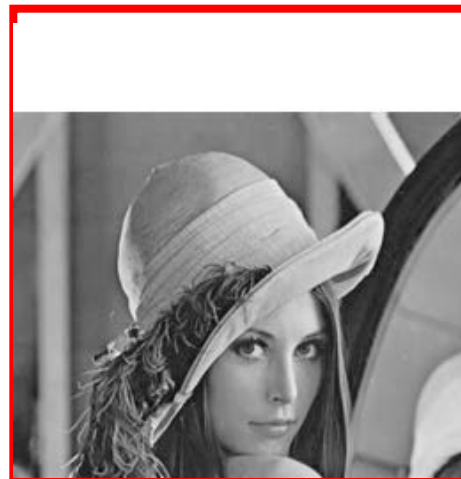


3.1 图像的几何变换

1、图像的平移(IMAGE TRANSLATION)



(a) 原始图像



(b) 平移后的图像



3.1 图像的几何变换

2、图像的缩放(Image Zoom)

图像全比例缩放变

数字图像的全比例缩放是指将给定的图像在 x 方向和 y 方向按相同的比例 a 缩放，从而获得一幅新的图像，

比例缩放前后两点 $A_0(x_0, y_0)$ 、 $A_1(x_1, y_1)$ 之间的关系用矩阵形式可以表示为：

$$\begin{bmatrix} x_1 \\ y_1 \\ 1 \end{bmatrix} = \begin{bmatrix} a & 0 & 0 \\ 0 & a & 0 \\ 0 & 0 & 1 \end{bmatrix} \begin{bmatrix} x_0 \\ y_0 \\ 1 \end{bmatrix} \quad \text{即} \quad \begin{cases} x_1 = ax_0 \\ y_1 = ay_0 \end{cases}$$



3.1 图像的几何变换

2、图像的缩放(Image Zoom)

以 $a=1/2$ 为例，即图像被缩小为原始图像的一半。图像被缩小一半以后根据目标图像和原始图像像素之间的关系，有如下两种缩小方法。

第一种方法是取原图像的偶数行列组成新图像；

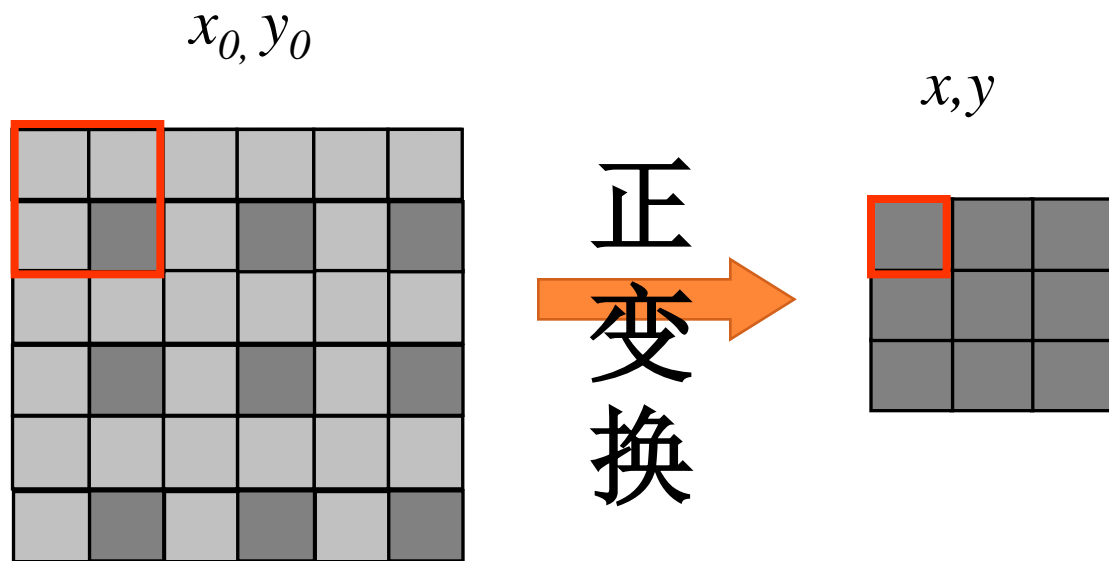
另一种方法是取原图像的奇数行列组成新图像。



3.1 图像的几何变换

2、图像的缩放(Image Zoom)

缩小 $x = x_0 / 2$
 $y = y_0 / 2$





3.1 图像的几何变换

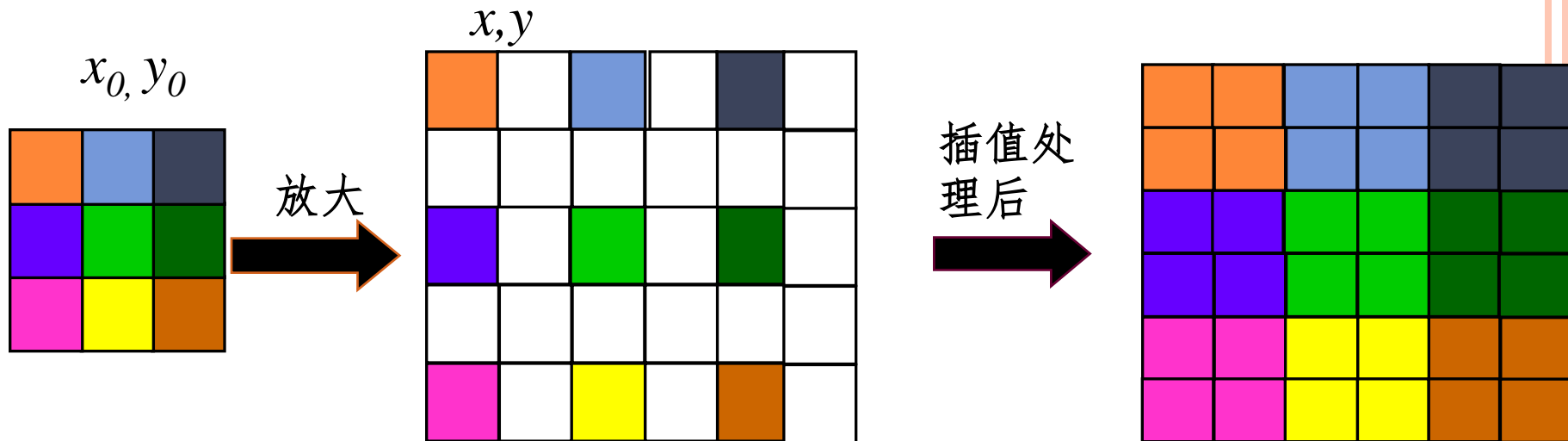
2、图像的缩放(Image Zoom)

放大

$$x=2x_0$$

$$y=2y_0$$

但放大后图像的像素点 (0, 1) 对应于原始图中的像素点 (0, 0.5), (1, 0) 对应于原始图中的 (0.5, 0), 原始图像中不存在这些像素点, 那么放大图像如何处理这些问题呢?



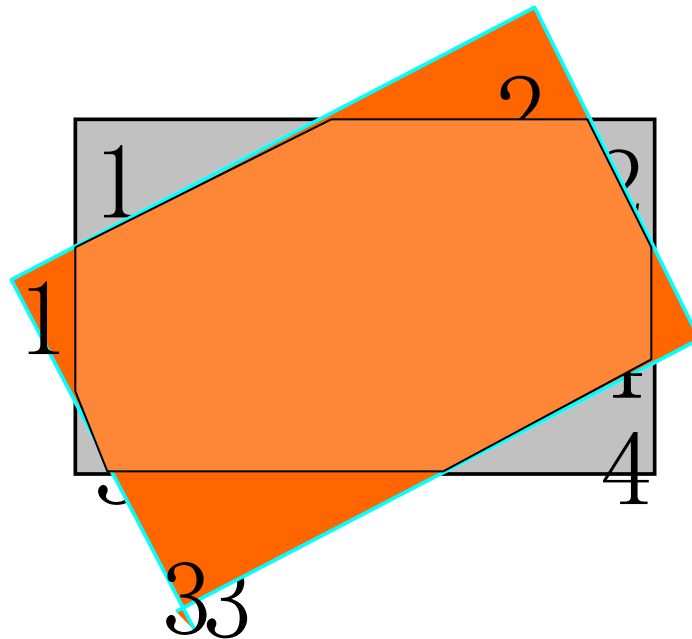
在图像放大的正变换中, 出现了很多的空格。因此, 需要对放大后所多出来的一些空格填入适当的像素值。一般采用**最邻近插值**和**线性插值法**。



3.1 图像的几何变换

3、图像的旋转(*IMAGE ROTATION*)

一般图像的旋转是以图像的中心为原点，旋转一定的角度，即将图像上的所有像素都旋转一个相同的角度。

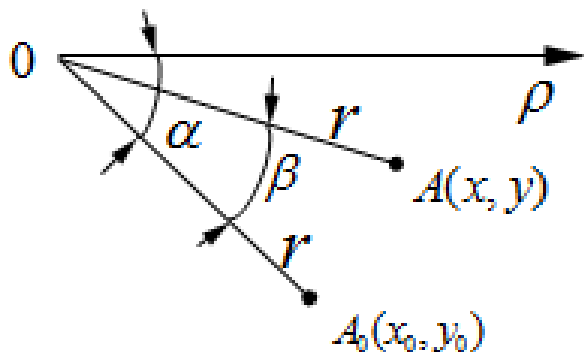




3.1 图像的几何变换

3、图像的旋转(*IMAGE ROTATION*)

○ 设原始图像的任意点 $A_0(x_0, y_0)$ 经旋转角度 β 以后到新的位置 $A(x, y)$ ，为表示方便，采用极坐标形式表示，原始的角度为 α ，如下图所示：



原始图像的点 $A_0(x_0, y_0)$
的坐标如下：

$$\begin{cases} x_0 = r \cos \alpha \\ y_0 = r \sin \alpha \end{cases}$$

图像的旋转



3.1 图像的几何变换

3、图像的旋转(*IMAGE ROTATION*)

旋转到新位置以后点 $A(x, y)$ 的坐标如下:

$$\begin{cases} x = r \cos(\alpha - \beta) = r \cos \alpha \cos \beta + r \sin \alpha \sin \beta \\ y = r \sin(\alpha - \beta) = r \sin \alpha \cos \beta - r \cos \alpha \sin \beta \end{cases}$$

$$\begin{cases} x = x_0 \cos \beta + y_0 \sin \beta \\ y = -x_0 \sin \beta + y_0 \cos \beta \end{cases}$$

○ 图像旋转用矩阵表示如下:

$$\begin{bmatrix} x \\ y \\ 1 \end{bmatrix} = \begin{bmatrix} \cos \beta & \sin \beta & 0 \\ -\sin \beta & \cos \beta & 0 \\ 0 & 0 & 1 \end{bmatrix} \begin{bmatrix} x_0 \\ y_0 \\ 1 \end{bmatrix}$$



3.1 图像的几何变换

3、图像的旋转(*IMAGE ROTATION*)



(a) 原图

(b) 旋转图

(c) 旋转图

图像的旋转



3.1 图像的几何变换

3、图像的旋转(*IMAGE ROTATION*)

图像旋转之后，由于数字图像的坐标值必须是整数，因此，可能引起图像部分像素点的局部改变，因此，这时图像的大小也会发生一定的改变。

若图像旋转角 $\beta=45^\circ$ 时，则变换关系如下：

$$\begin{cases} x = 0.707x_0 + 0.707y_0 \\ y = -0.707x_0 + 0.707y_0 \end{cases}$$

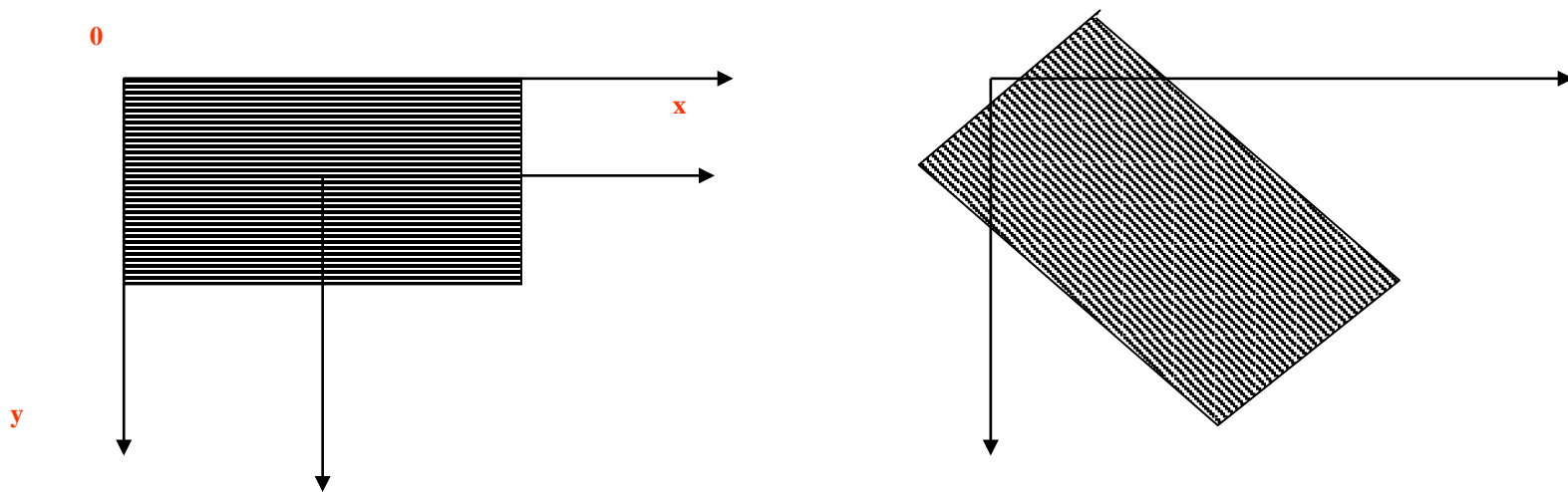


3.1 图像的几何变换

3、图像的旋转(*IMAGE ROTATION*)

图像绕任意点旋转

上述的旋转是绕坐标轴原点 $(0, 0)$ 进行的, 如果是绕某一个指定点 (a, b) 旋转, 则先要将坐标系平移到该点, 再进行旋转, 然后将旋转后的图像平移回原坐标系。例如, 我们这里以图像的中心为旋转中心:



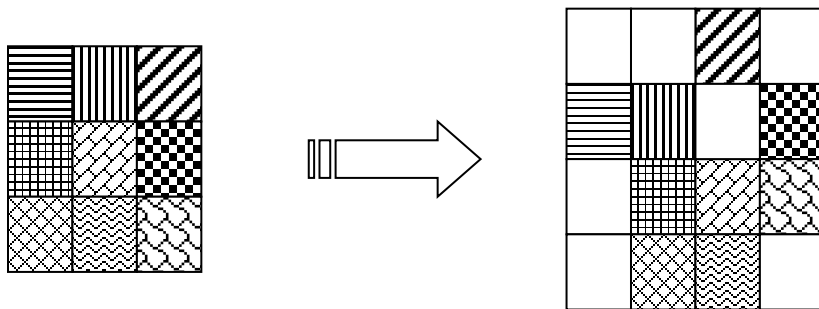


3.1 图像的几何变换

3、图像的旋转(*IMAGE ROTATION*)

利用公式进行图像旋转正变换时需要**注意**如下两点：

- 1、为了避免图像信息的丢失，图像旋转后必须进行平移变换。
- 2、图像旋转之后，会出现许多空洞点，我们需要对这些空洞点必须进行填充处理，否则图像旋转后的效果不好，一般也称这种操作为插值处理，可采用行或列插值方法。最简单的插值方法是，图像旋转前某一点 (x, y) 的像素点颜色，除了填充在旋转后坐标 (x', y') 上外，还要填充 $(x'+1, y')$ 和 $(x', y'+1)$ 。





3.1 图像的几何变换

3、图像的旋转(*IMAGE ROTATION*)

图像旋转角 $\beta = 45^\circ$ 时，则变换关系如下：

$$\begin{cases} x = 0.707x_0 + 0.707y_0 \\ y = -0.707x_0 + 0.707y_0 \end{cases}$$

以原始图像的点（1， 1）为例，旋转以后，均为小数，经舍入后为（1， 0），产生了位置误差。因此，图像旋转之后，可能会出现一些空白点，需要对这些空白点进行灰度级的插值处理，否则影响旋转后的图像质量。



3.1 图像的几何变换

3、图像的旋转(*IMAGE ROTATION*)



旋转前的图像



旋转15° 并进行插值处理的图像



3.1 图像的几何变换

4、图像的镜像(IMAGE MIRROR)

图像的镜像 (Mirror) 是指原始图像相对于某一参照面旋转 180° 的图像

设原始图像的宽为 w ，高为 h ，原始图像中的点为 (x_0, y_0) ，对称变换后的点为 (x_1, y_1) 。

- (1) 水平镜像 (相对于 y 轴)

水平镜像的变换公式 如下：

$$\begin{bmatrix} x_1 \\ y_1 \\ 1 \end{bmatrix} = \begin{bmatrix} -1 & 0 & w \\ 0 & 1 & 0 \\ 0 & 0 & 1 \end{bmatrix} \begin{bmatrix} x_0 \\ y_0 \\ 1 \end{bmatrix}$$



3.1 图像的几何变换

4、图像的镜像(IMAGE MIRROR)



(a)原始图像



(b)水平镜像



3.1 图像的几何变换

4、图像的镜像(IMAGE MIRROR)

- (2) 垂直镜像（相对于 x 轴）

垂直镜像的变换公式为如下：

$$\begin{bmatrix} x_1 \\ y_1 \\ 1 \end{bmatrix} = \begin{bmatrix} 1 & 0 & 0 \\ 0 & -1 & h \\ 0 & 0 & 1 \end{bmatrix} \begin{bmatrix} x_0 \\ y_0 \\ 1 \end{bmatrix}$$



3.1 图像的几何变换

4、图像的镜像(IMAGE MIRROR)



(a)原始图像



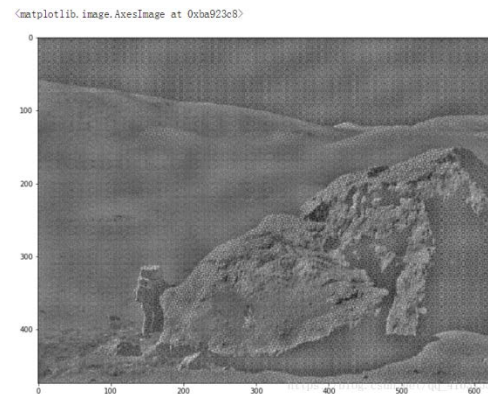
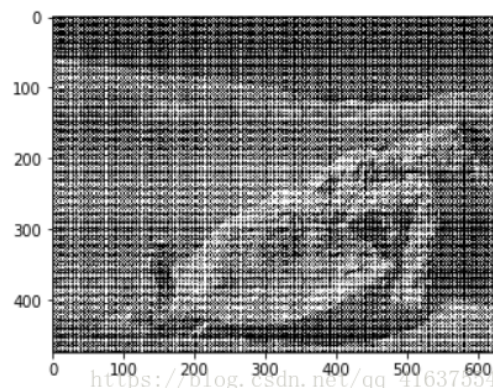
(b)垂直镜像



3.3 傅里叶变换

傅里叶变换在图像处理中的作用

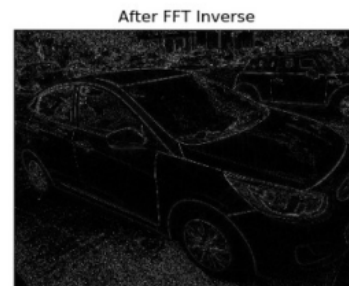
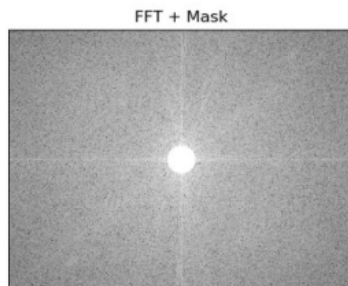
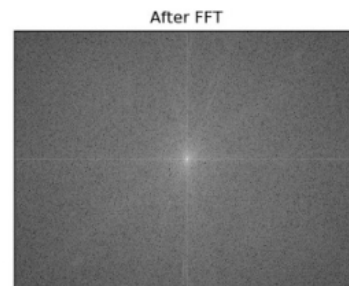
➤ 图像增强与图像去噪



➤ 边缘检测

➤ 图像压缩

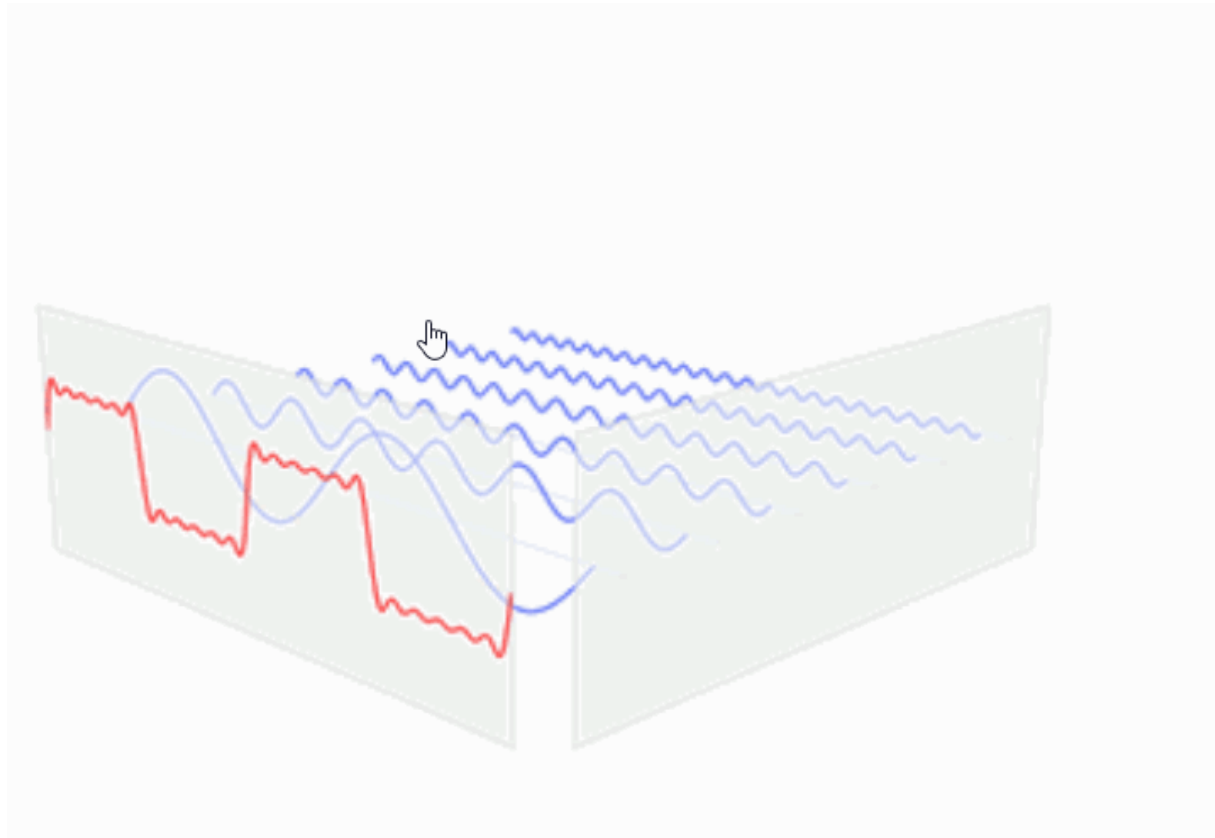
➤ 特征提取





3.3 傅里叶变换

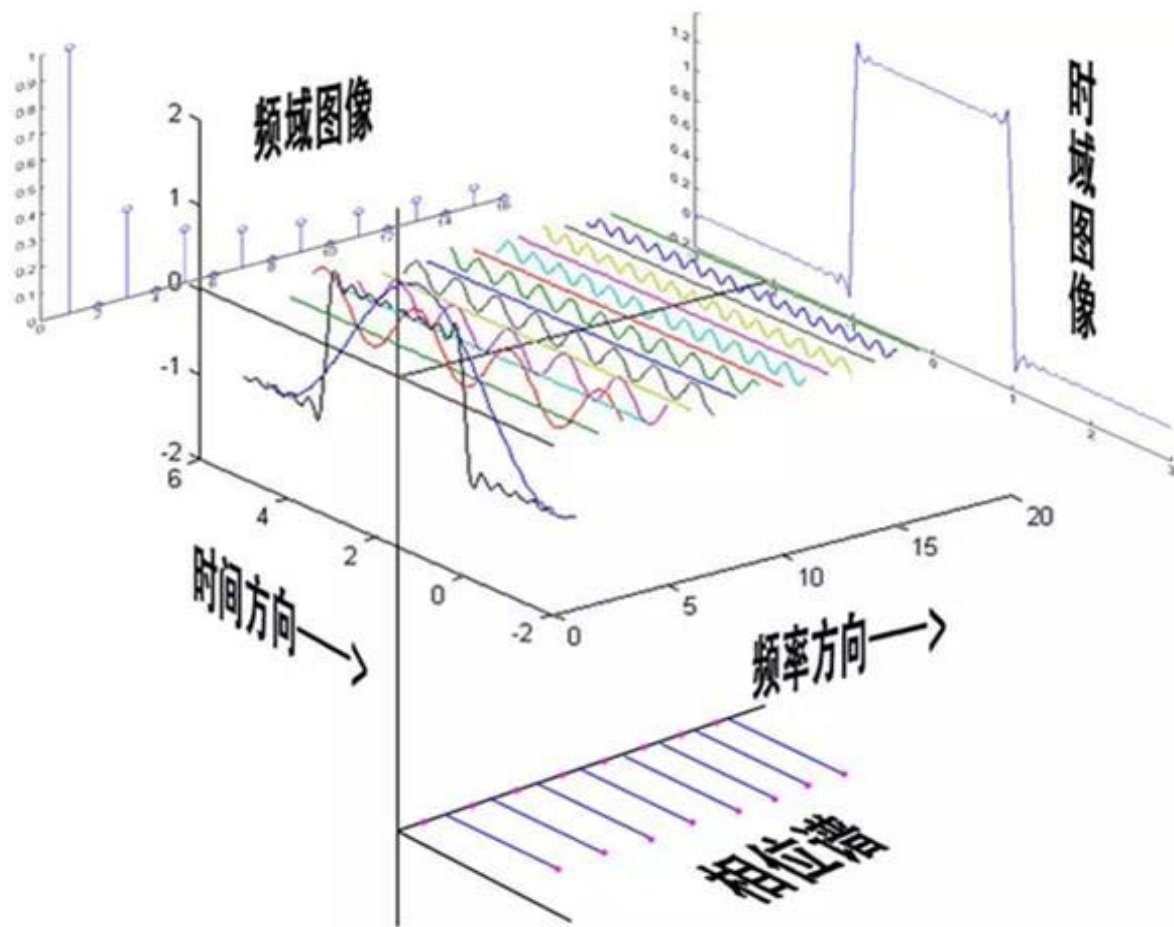
1. 连续傅里叶变换





3.3 傅里叶变换

1. 连续傅里叶变换





3.3 傅里叶变换

1. 连续傅里叶变换

(1) 一维傅立叶变换及其反变换

$$\mathfrak{R}: \quad F(u) = \int_{-\infty}^{\infty} f(x) e^{-j2\pi ux} \, dx$$

$$\mathfrak{R}^{-1}: \quad f(x) = \int_{-\infty}^{\infty} F(u) e^{j2\pi ux} \, du$$



3.3 傅里叶变换

这里 $f(x)$ 是实函数，它的傅里叶变换 $F(u)$ 通常是复函数。 $F(u)$ 的实部、虚部、振幅、能量和相位分别表示如下：

- 实部
$$R(u) = \int_{-\infty}^{+\infty} f(t) \cos(2\pi ut) dt$$
- 虚部
$$I(u) = -\int_{-\infty}^{+\infty} f(t) \sin(2\pi ut) dt$$
- 振幅
$$|F(u)| = [R^2(u) + I^2(u)]^{\frac{1}{2}}$$



3.3 傅里叶变换

○ 能量

$$E(u) = |F(u)|^2 = R^2(u) + I^2(u)$$

○ 相位

$$\phi(u) = \arctan \frac{I(u)}{R(u)}$$

傅里叶变换可以很容易推广到二维的情形。设函数 $f(x, y)$ 是连续可积的，且 $f(u, v)$ 可积，则存在如下的傅里叶变换对：



3.3 傅里叶变换

$$F \{ f(x, y) \} = F(u, v) = \int_{-\infty}^{\infty} \int_{-\infty}^{\infty} f(x, y) e^{-j2\pi(ux+vy)} dx dy$$

$$F^{-1} \{ F(u, v) \} = f(x, y) = \int_{-\infty}^{\infty} \int_{-\infty}^{\infty} F(u, v) e^{j2\pi(ux+vy)} du dv$$

式中 u 、 v 是频率变量。与一维的情况一样，二维函数的傅里叶谱、能量和相位谱为：



3.3 傅里叶变换

○ 傅里叶频谱:

$$|F(u, v)| = [R^2(u, v) + I^2(u, v)]^{\frac{1}{2}}$$

○ 相位:

$$\phi(u, v) = \arctan \frac{I(u, v)}{R(u, v)}$$

○ 能量谱:

$$E(u, v) = R^2(u, v) + I^2(u, v)$$



3.3 傅里叶变换

2、离散傅里叶变换

函数 $f(x)$ 的一维离散傅里叶变换由下式定义：

$$\mathfrak{R} : F(u) = \sum_{x=0}^{N-1} f(x) e^{-j2\pi ux / N}$$

其中， $u = 0, 1, 2, \dots, N-1$ 。 $F(u)$ 的傅里叶反变换定

义为：

$$\mathfrak{R}^{-1} : f(x) = \frac{1}{N} \sum_{u=0}^{N-1} F(u) e^{j2\pi ux / N}$$



3.3 傅里叶变换

同连续函数的傅里叶变换一样，离散函数的傅里叶变换也可推广到二维的情形，其二维离散傅里叶变换定义为：

$$F(u, v) = \frac{1}{N^2} \sum_{x=0}^{N-1} \sum_{y=0}^{N-1} f(x, y) e^{-2j\pi(ux+vy)/N}$$

$$u = 0, 1, \dots, N-1, v = 0, 1, \dots, N-1。$$

二维离散傅里叶反变换定义为

$$f(x, y) = \frac{1}{N^2} \sum_{x=0}^{N-1} \sum_{y=0}^{N-1} F(u, v) e^{2j\pi(ux+vy)/N}$$

式中 $x = 0, 1, \dots, N-1, y = 0, 1, \dots, N-1$



3.3 傅里叶变换

与一维的情况一样，

二维函数的离散傅里叶谱、能量和相位谱为：

傅里叶频谱： $|F(u, v)| = \sqrt{R^2(u, v) + I^2(u, v)}$

相位： $\phi(u, v) = \arctan \frac{I(u, v)}{R(u, v)}$

能量谱： $P(u, v) = |F(u, v)|^2 = R^2(u, v) + I^2(u, v)$



3.3 傅里叶变换

- 一个简单二维函数的中心谱。

图1（a）显示了在 512×512 像素尺寸的背景上叠加一个 20×40 像素尺寸的白色矩形。

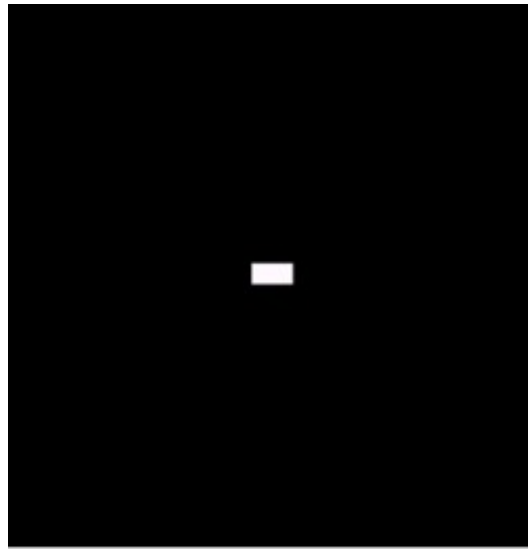
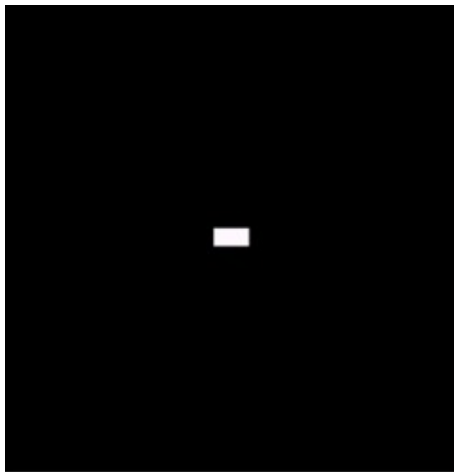


图1（a）

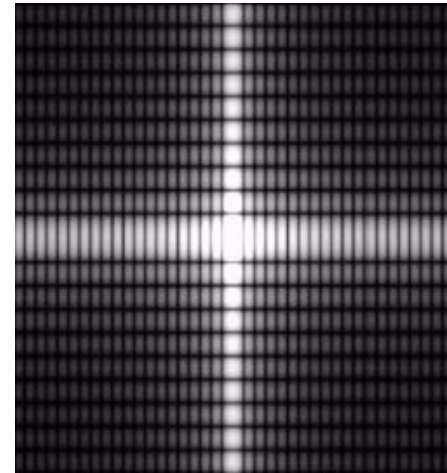


3.3 傅里叶变换

此图像在进行傅里叶变换的计算之前被乘以 $(-1)^{x+y}$ ，从而可以使频率谱关于中心对称，如图1 (b) 所示。在图1 (b) 中， u 方向谱的零点分割恰好是 v 方向零点分隔的两倍。



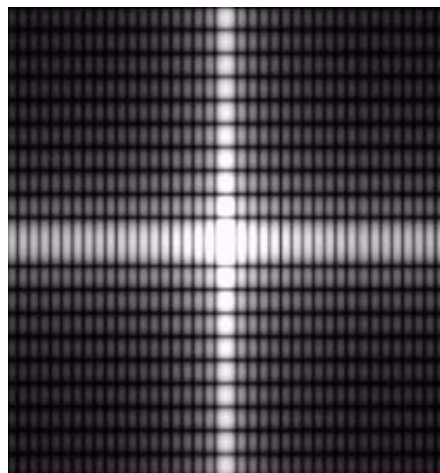
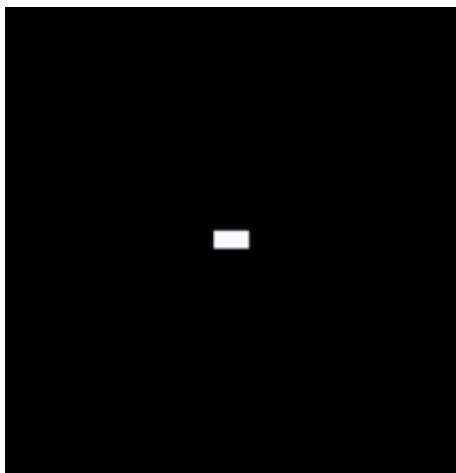
512 × 512



20 × 40



3.3 傅里叶变换



符合图像中 **1:2** 的矩形尺寸比例（遵照傅里叶变换尺度变换性质）。在显示之前频率谱用式中的对数变换处理以增强灰度级细节。变换中使用 $c = 0.5$ 的值可以降低整体强度。在本章显示的对数傅里叶频率谱都用对数变换进行了相似的处理。



3.3 傅里叶变换

例：图象的二维离散傅立叶频谱。

%读入原始图象

```
I = imread('i_peppers_gray.bmp');
```

```
imshow(I)
```

%求离散傅立叶频谱

```
J = fftshift(fft2(I));
```

%对原始图象进行二维傅立叶变换，并将其坐标原点移到频谱图中央位置

```
figure (2) ;
```

```
imshow(log(1+abs(J)),[8,10])
```

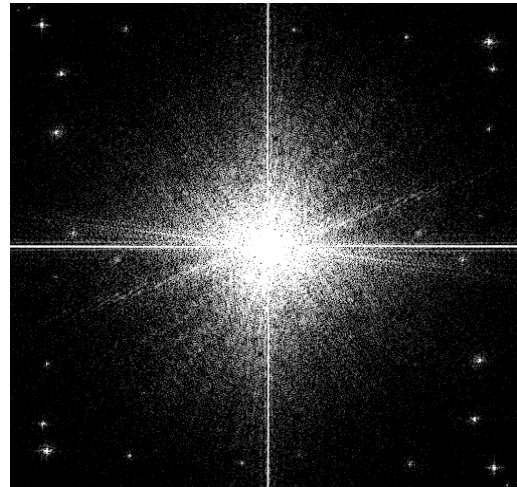
其结果如下页图所示



3.3 傅里叶变换



(a) 原始图像



(b) 离散傅里叶频谱

图2 二维图像及其离散傅里叶频谱的显示



3.3 傅里叶变换

频域中：

- 频率越大说明原始信号变化速度越快；
- 频率越小说明原始信号越平缓；
- 当频率为0时，表示直流信号，没有变化；
- 频率的大小反应了信号的变化快慢。高频分量解释信号的突变部分，而低频分量决定信号的整体形象。

图像处理中：

- 频域反应了图像在空域灰度变化剧烈程度，也就是图像灰度的变化速度，也就是图像的梯度大小。
 - 图像的边缘部分是突变部分，变化较快，因此反应在频域上是高频分量；图像的噪声大部分情况下是高频部分；
 - 图像平缓变化部分则为低频分量。
- ◆ 傅立叶变换提供了一条从空域到频率自由转换的途径,提供另外一个角度来观察图像，可以将图像从灰度分布转化到频率分布上来观察图像的特征。



3.3 傅里叶变换

3、快速傅里叶变换

快速傅里叶变换 (FFT) 并不是一种新的变换，它是离散傅里叶变换 (DFT) 的一种算法。这种方法是在分析离散傅里叶变换 (DFT) 中的多余运算的基础上，进而消除这些重复工作的思想指导下得到的，所以在运算中大大节省了工作量，达到了快速的目的。



3.3 傅里叶变换

对于一个有限长序列 $\{f(x)\}(0 \leq x \leq N-1)$ ，它的傅里叶变换由下式表示：

$$F(u) = \frac{1}{\sqrt{N}} \sum_{n=0}^{N-1} f(x) W_N^{ux}$$

令 $W_N = e^{-j\frac{2\pi}{N}}, W_N^{-1} = e^{j\frac{2\pi}{N}}$

因此，傅里叶变换对可写成下式

$$F(u) = \frac{1}{\sqrt{N}} \sum_{x=0}^{N-1} f(x) W_N^{ux}$$



3.3 傅里叶变换

从上面的运算显然可以看出要得到每一个频率分量，需进行 N 次乘法和 $N - 1$ 次加法运算。要完成整个变换需要 N^2 次乘法和 $N(N - 1)$ 次加法运算。当序列较长时，必然要花费大量的时间。

观察上述系数矩阵，发现 W_N^{ux} 是以 N 为周期的，即 $W_N^{(u+LN)(x+KN)} = W_N^{ux}$



3.4 傅里叶变换的性质 (CHARACTERISTICS OF FOURIER TRANSFORM)

1、可分离性 (Separability)

$$F(u, v) = \frac{1}{N} \sum_{x=0}^{N-1} \sum_{y=0}^{N-1} f(x, y) e^{-j2\pi(ux+vy)/N}$$

$$F(u, v) = \frac{1}{N} \sum_{x=0}^{N-1} e^{-j2\pi ux/N} \sum_{y=0}^{N-1} f(x, y) e^{-j2\pi vy/N}$$

每1列求变换再乘以 N

$$F(x, v) = N \left[\frac{1}{N} \sum_{y=0}^{N-1} f(x, y) e^{-j2\pi vy/N} \right] \quad v = 0, 1, \dots, N-1$$

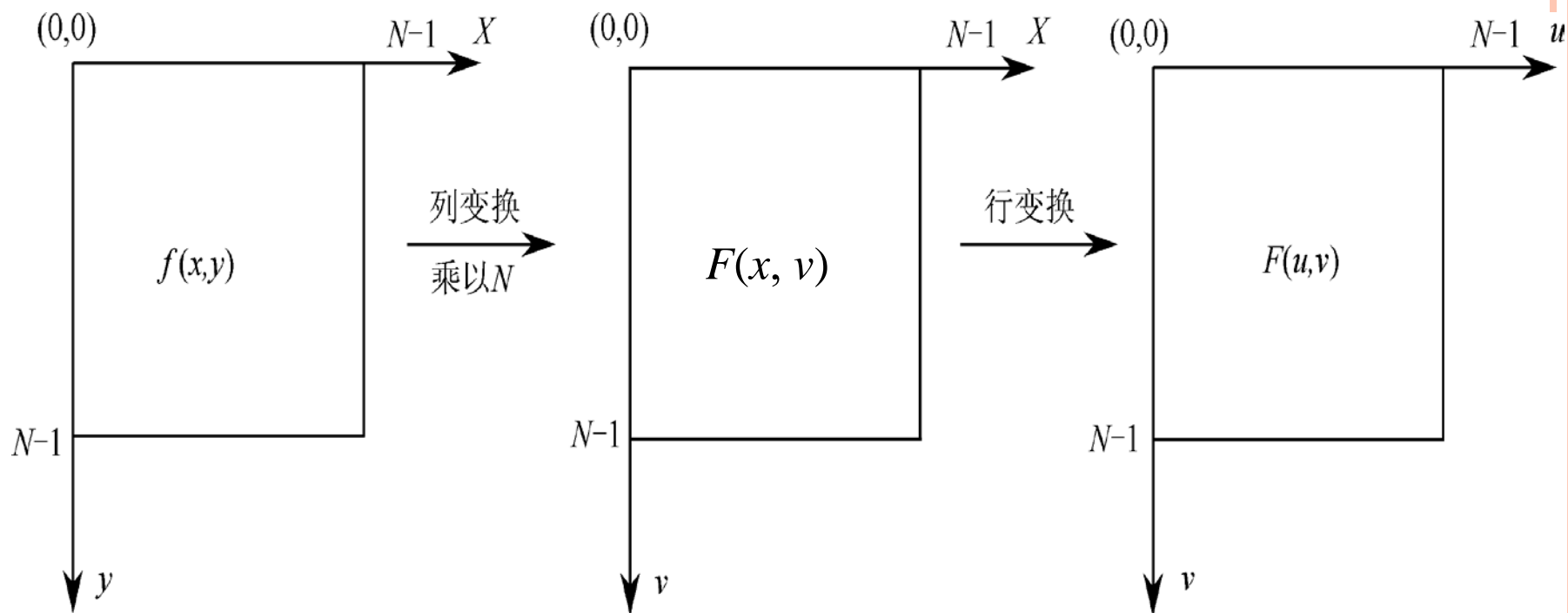
再对 $F(x, v)$ 每1行求傅里叶变换

$$F(u, v) = \frac{1}{N} \sum_{x=0}^{N-1} F(x, v) e^{-j2\pi ux/N} \quad u, v = 0, 1, \dots, N-1$$



4、傅里叶变换的性质

(1) 可分离性 (Divisibility)



由2步1-D变换计算2-D变换



4、傅里叶变换的性质

$$f(x, y) = \frac{1}{N} \sum_{u=0}^{N-1} \sum_{v=0}^{N-1} F(u, v) e^{j2\pi(ux+vy)/N}$$

$$f(x, y) = \frac{1}{N} \sum_{u=0}^{N-1} e^{j2\pi ux/N} \sum_{v=0}^{N-1} F(u, v) e^{j2\pi vy/N}$$



4、傅里叶变换的性质

(2) 平移性质 (Translation)

$$f(x, y) e^{j2\pi(u_0 x + v_0 y)/N} \Leftrightarrow F(u - u_0, v - v_0)$$

$$\because -1 = e^{-j\pi} \quad \therefore (-1)^{x+y} = e^{-j\pi(x+y)}$$

$f(x, y)$ 与一个指数相乘等于将变换后的频率域中心移到新的位置。

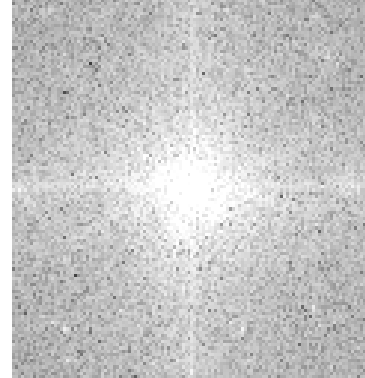
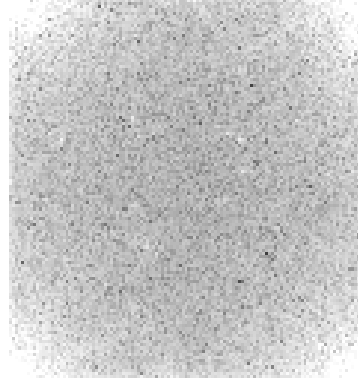
$$f(x - x_0, y - y_0) \Leftrightarrow F(u, v) e^{-j2\pi(ux_0 + vy_0)/N}$$

$f(x, y)$ 的平移将不改变频谱的幅值 (amplitude)。



4、 傅里叶变换的性质

例：





4、 傅里叶变换的性质

```
I = imread('i_peppers_gray.bmp');
```

```
I = rgb2gray(I);
```

```
subplot(1,3,1);imshow(I)
```

```
K=fft2(I);
```

```
J = fftshift(K);
```

```
K1=0.5*log(1+abs(K));
```

```
J1=0.5*log(1+abs(J));
```

```
subplot(1,3,2);imshow(K1,[0,10])
```

```
subplot(1,3,3);imshow(J1,[0,10])
```



4、傅里叶变换的性质

(3) 周期性和共轭对称性 (Periodicity and Conjugate Symmetry)

傅里叶变换和反变换均以 N 为周期，即

$$F(u, v) = F(u + N, v) = F(u, v + N) = F(u + N, v + N)$$

上式表明，尽管 $F(u, v)$ 有无穷多个 u 和 v 的值重复出现，但只需根据在任一个周期里的 N 个值就可以从 $F(u, v)$ 得到 $f(x, y)$ 。



4、 傅里叶变换的性质

如果 $f(x, y)$ 是实函数，则它的傅里叶变换具有共轭对称性

$$|F(u, v)| = |F(-u, -v)|$$

$$F(u, v) = F^*(-u, -v)$$



4、傅里叶变换的性质

(4) 旋转性质 (Rotation)

$$f(x, y) \Leftrightarrow F(u, v)$$

$$x = r \cos \theta \quad y = r \sin \theta \quad u = w \cos \phi \quad v = w \sin \phi$$

$$f(r, \theta + \theta_0) \Leftrightarrow F(w, \phi + \theta_0)$$

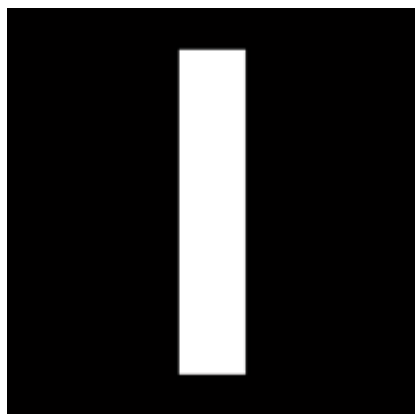
上式表明, 对 $f(x, y)$ 旋转一个角度 θ_0

$F(u, v)$ 对应于将其傅里叶变换也旋转相同的角度 θ_0

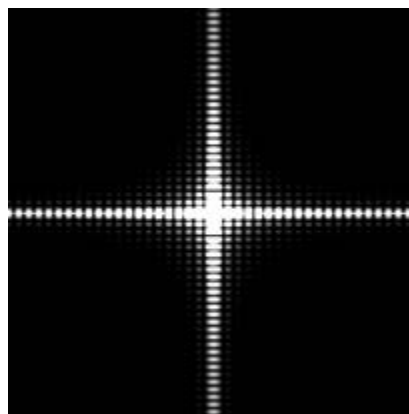


4、傅里叶变换的性质

○ 例：二维离散傅立叶变换的旋转。



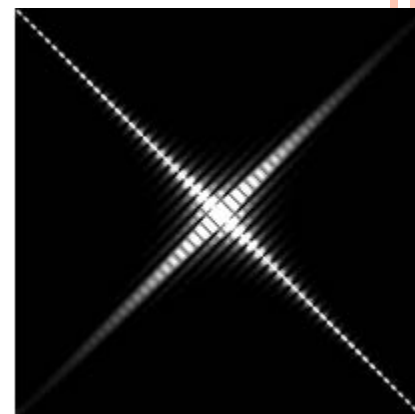
(a) 原始图像



(b) 原图像的傅里叶频谱



(c) 旋转后的图像



(d) 旋转后图像的傅里叶频谱

上例表明，对 $f(x,y)$ 旋转一个角度 θ_0 对应于将其傅里叶变换 $F(u,v)$ 也旋转相同的角度 θ_0 。



```
I=zeros(256,256);I(28:228,108:148)=1;subplot(1,4,1);ims  
how(I)
```

%求原始图像的傅里叶频谱

```
J=fft2(I); F=abs(J);J1=fftshift(F);
```

```
subplot(1,4,2);imshow(J1,[5 50])
```

%对原始图像进行旋转

```
J=imrotate(I,315,'bilinear','crop');
```

```
subplot(1,4,3);imshow(J)
```

%求旋转后图像的傅里叶频谱

```
J1=fft2(J);F=abs(J1);J2=fftshift(F);
```

```
subplot(1,4,4);imshow(J2,[5 50])
```



4、傅里叶变换的性质

(5) 分配律 (Distribution Law)

根据傅里叶变换对的定义可得到：

$$\mathfrak{R}\{f_1(x, y) + f_2(x, y)\} = \mathfrak{R}\{f_1(x, y)\} + \mathfrak{R}\{f_2(x, y)\}$$

上式表明傅里叶变换和反变换对加法满足分配律，

但需注意对乘法则不满足，一般有：

$$\mathfrak{R}\{f_1(x, y) \cdot f_2(x, y)\} \neq \mathfrak{R}\{f_1(x, y)\} \cdot \mathfrak{R}\{f_2(x, y)\}$$



4、 傅里叶变换的性质

(6) 尺度变换 (Scaling)

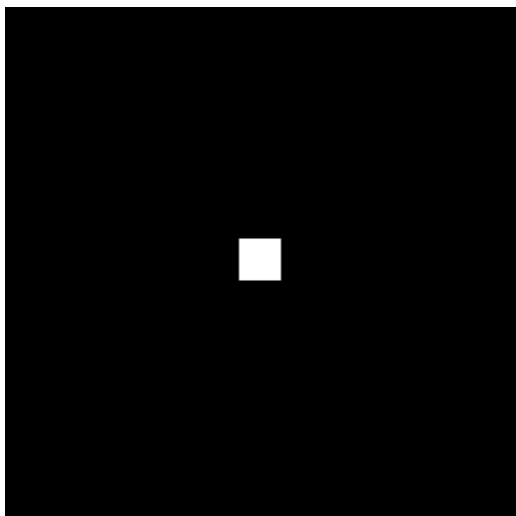
$$af(x, y) \Leftrightarrow aF(u, v)$$

$$f(ax, by) \Leftrightarrow \frac{1}{|ab|} F\left(\frac{u}{a}, \frac{v}{b}\right)$$

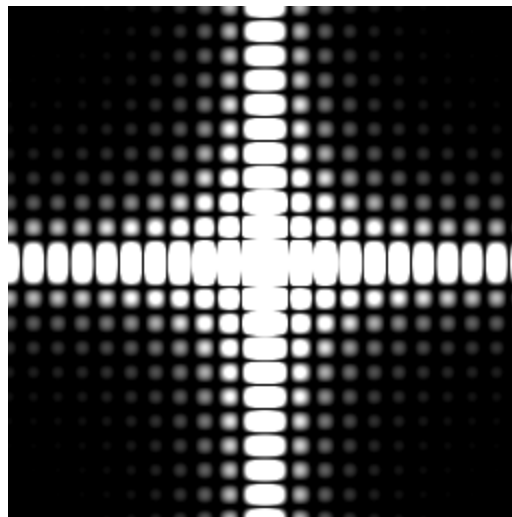


4、傅里叶变换的性质

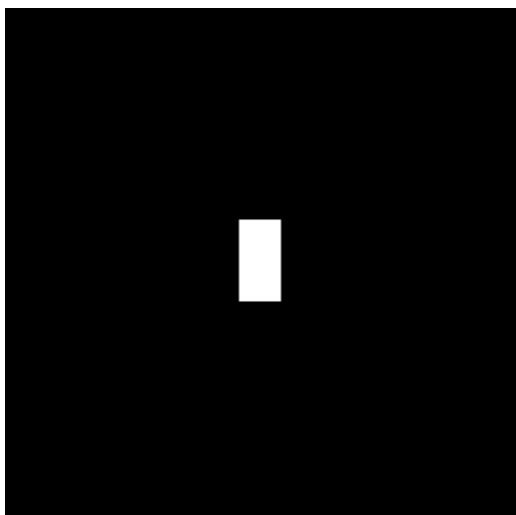
例：比例尺度展宽。



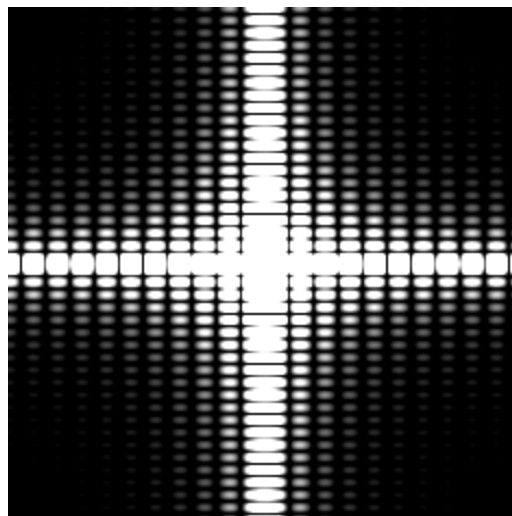
(a) 原始图像



(b) 比例尺度展宽前的频谱



(c) 比例尺度 $a=1$, $b=0.5$, 展宽后



(d) 比例尺度 $a=1$, $b=0.5$, 展宽后的频谱



```
I=zeros(256,256);I(118:138,118:138)=5;
```

```
figure(1);imshow(I)
```

%原始图像的傅里叶频谱

```
J3=fft2(I);F2=abs(J3);J4=fftshift(F2);
```

```
figure(2);imshow(J4,[5 30])
```

%乘以比例尺度

```
I(108:148,118:138)=5;
```

%比例尺度展宽后的傅里叶频谱

```
J2=fft2(I);F1=abs(J2);J3=fftshift(F1);
```

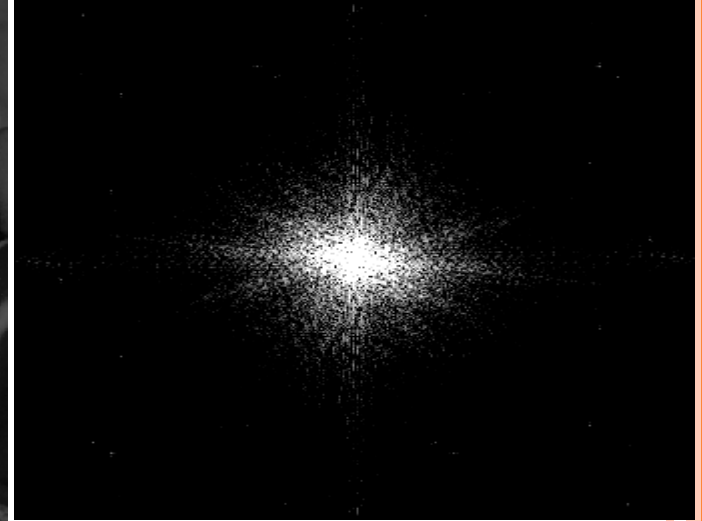
```
figure(3);imshow(J3,[5 30])
```

```
figure(4);imshow(I)
```



4、傅里叶变换的性质

例：





4、 傅里叶变换的性质

```
I=imread('i_peppers_gray.bmp');  
figure(1);imshow(I)  
I = rgb2gray(I);%如果是灰度图就不用先变换  
P=I*exp(-1);  
figure(2);imshow(P)  
P1=fftshift(fft2(P));  
figure(3);imshow(log(abs(P1)),[8,10])
```



4、傅里叶变换的性质

(7) 平均值 (Average Value)

对一个2-D离散函数，其平均值可用下式表示：

$$\bar{f}(x, y) = \frac{1}{N^2} \sum_{x=0}^{N-1} \sum_{y=0}^{N-1} f(x, y)$$

当正反变换采用相同的标度数 $1/N$ 时，傅里叶变换域原点的频谱分量为：

$$\begin{aligned} F(0,0) &= \frac{1}{N} \sum_{x=0}^{N-1} \sum_{y=0}^{N-1} f(x, y) e^{-j\frac{2\pi}{N}(x \cdot 0 + y \cdot 0)} = N \left[\frac{1}{N^2} \sum_{x=0}^{N-1} \sum_{y=0}^{N-1} f(x, y) \right] \\ &= N \bar{f}(x, y) \end{aligned}$$



4、傅里叶变换的性质

两式比较可得：

$$\bar{f}(x, y) = \frac{1}{N} F(0, 0)$$

也就是说，频谱的直流成分 N 倍于图像平面的亮度平均值。在使用诸如高通滤波器的场合，其 $F(0, 0)$ 值会衰减，因为图像的亮度在很大程度上受到影响，采用对比度拉伸的方法可以缓和这种衰减。



4、傅里叶变换的性质

(8) 卷积定理(Convolution Theorem)

卷积定理是线性系统分析中最重要的一条定理。

下面先考虑一维傅里叶变换：

$$f(x) * g(x) = \int_{-\infty}^{\infty} f(z)g(x-z)dz \Leftrightarrow F(u)G(u)$$

同样二维情况也是如此

$$f(x, y) * g(x, y) \Leftrightarrow F(u, v)G(u, v)$$



4、 傅里叶变换的性质

例：

```
f=[8,1,6;3,5,7;4,9,2];
```

```
g=[1,1,1;1,1,1;1,1,1];
```

```
f(8,8)=0;    g(8,8)=0;
```

```
c=ifft2(fft2(f).*fft2(g));
```

```
c1=c(1:5,1:5)
```

%利用conv2(二维卷积函数)校验

```
a=[8,1,6;3,5,7;4,9,2];
```

```
b=[1,1,1;1,1,1;1,1,1];
```

```
c2=conv2(a,b)
```

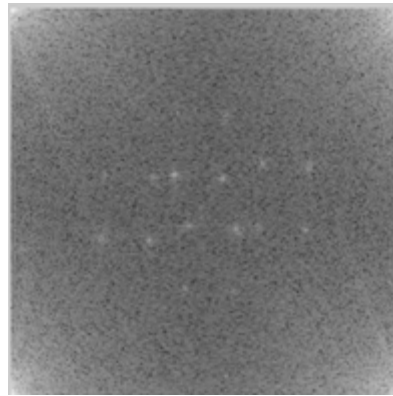


5、 图像傅里叶变换实例

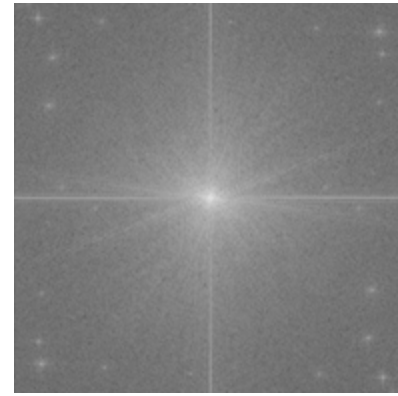
例1：对一副图进行傅里叶变换，求出其频谱图，然后利用平移性质，在原图的基础上乘以 $(-1)^{x+y}$ 求傅里叶变换的频谱图。



(a) 原图



(b) 频谱图



(c) 中心移到零点的
频谱图

图3 二维离散傅里叶变换结果中频率成分分布示意图



5、 图像傅里叶变换实例

图3（a）为原图，对其求傅里叶变换得到图（b）傅里叶变换的频谱图，观察频谱图可知，在未平移前，图（b）坐标原点在窗口的左上角，即变换后的直流成分位于左上角，而窗口的四角分布低频成分。对原图乘以 $(-1)^{x+y}$ 后进行傅里叶变换，观察频谱图（c）可知，变换后的坐标原点移至频谱图窗口中央，因而围绕坐标原点是低频，向外是高频。



5、 图像傅里叶变换实例

通过上可知，图像的能量主要集中在低频区，即图像的中央位置，而相对的高频区（左上、右上、左下、右下四个角）的幅值很小或接近于0。以后傅里叶变换都进行相似平移处理，将不再重复叙述。



例程:

```
clear all;
I=imread('i_peppers_gray.bmp');
figure(1);imshow(I);
fftl=fft2(I);
sfftl=0.5*log(abs(fftl)+1);
figure(1);imshow(sfftl,[3,6]);
for i=1:195
    for j=1:195
        ll(i,j)=I(i,j)*(-1)^(i+j);
    end
end
fftl=fft2(ll);
sfftl=0.5*log(abs(fftl)+1);
figure(2);imshow(sfftl,[3,6]);
```

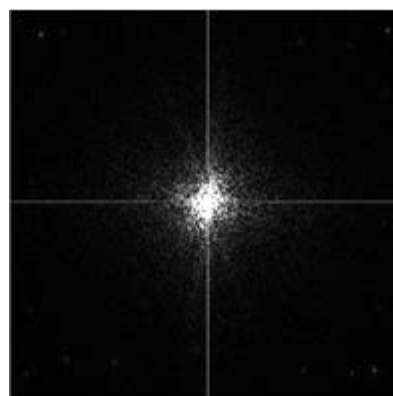


5、图像傅里叶变换实例

- 例2：图3 乘以一指数，将图像亮度整体变暗，并求其中心移到零点的频谱图。



(a) 变暗后的图



(b) 变暗后中心移到
零点的频谱图

图4 二维离散傅里叶变换结果中频率成分分布示意图



5、 图像傅里叶变换实例

将原图3函数乘以 e^{-1} ，结果如图4（a）所示。对其亮度平均变暗后的图像进行傅里叶变换，并将坐标原点移到频谱图中央位置，结果如图4（b）所示。对比图3（c）和4（b）后，可以看出当图片亮度变暗后，中央低频成分变小。故从中可知，中央低频成分代表了图片的平均亮度，当图片亮度平均值发生变化时，对应的频谱图中央的低频成分也发生改变。



例程:

```
clear all;
```

```
I=imread('i_peppers_gray.bmp');
```

```
figure(1);imshow(I);
```

```
sfftI=fftshift(fft2(I));
```

```
figure(1);imshow(log(abs(sfftI)),[5,12]);
```

```
for i=1:195
```

```
    for j=1:195
```

```
        II(i,j)=I(i,j)*exp(-1);
```

```
    end
```

```
end
```

```
sfftII=fftshift(fft2(II));
```

```
figure(2);imshow(log(abs(sfftII)),[5,12]);
```

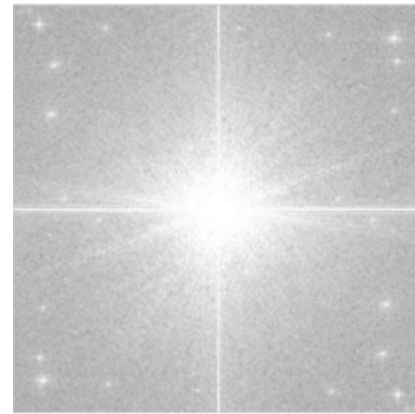



5、 图像傅里叶变换实例

- 例3： 图3加入高斯噪声，得出一个有颗粒噪音的图，并求其中心移到零点的频谱图。



(a) 有颗粒噪音



(b) 有颗粒噪音中
心移到零点的频谱图

图5 二维离散傅里叶变换结果中频率成分分布示意图

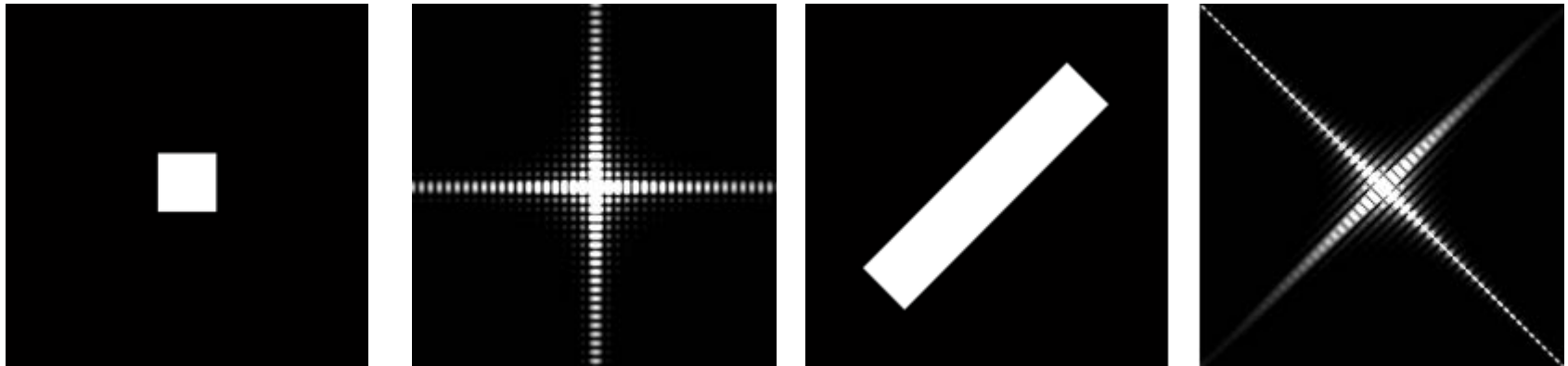


```
clear all;  
I=imread('i_peppers_gray.bmp');  
figure(1);imshow(I);  
distI=imnoise(I,'gaussian',0,200^2/255^2);  
figure(2);imshow(distI);  
sfftI=fftshift(fft2(I));  
figure(3);imshow(log(abs(sfftI)),[5,12]);  
  
sfftII=fftshift(fft2(distI));  
figure(4);imshow(log(abs(sfftII)),[5,12]);
```



5、 图像傅里叶变换实例

○例： 对中心为一小正方形和以斜长方形求其傅里叶变换的谱分布。



(a) 正方形原图 (b) 正方形的谱分布 (c) 长方形的原始
图像 (d) 长方形的谱分布

图6 傅氏变换谱分布实例



5、 图像傅里叶变换实例

图6示出两幅图像经傅氏变换后的频谱分布例子。左边均为原始图像，右边分别是他们变换后的谱分布。图(a)是中心为一小正方形，周边为空；图(c)是中心为斜置的小矩形。谱分布中，最亮区域表示其变换后的幅值最大。对(c)傅里叶变换后中心移到零点后的结果，我们可以发现当长方形旋转了 45° 时，频谱也跟着旋转 45° ，此实例验证了傅里叶变换的旋转性。



- clear all;
- I=zeros(255,255);
- I(118:138,118:138)=1;
- figure(1);imshow(I);
- distI=zeros(255,255);
- for i=114:128
 - for j=(128-(i-114)):(128+(i-114))
 - distI(i,j)=1;
 - end
- end
- 未完， 见下页



```
for m=142:-1:129
    for n=(m-14):(270-m)
        distI(m,n)=1;
    end
end
figure(2);imshow(distI);
sfftI=fftshift(fft2(I));
figure(3);imshow(log(abs(sfftI)),[0,5]);

sfftII=fftshift(fft2(distI));
figure(4);imshow(log(abs(sfftII)),[0,5]);
```



5、 图像傅里叶变换实例

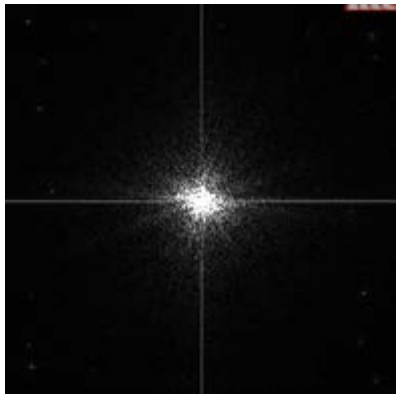
- 例:对一副图片如图7（a）求其幅值谱和相位谱，并对幅值谱和相位谱分别进行图像重构，对比其所求结果。



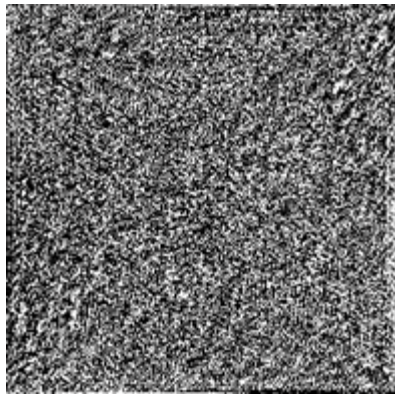
（a）原图
图7



5、 图像傅里叶变换实例



(b) 幅值谱



(c) 相位谱



(d) 幅值谱重构图像



(e) 相位谱重构图像

图7 傅里叶图像及其傅里叶变换



```
clear all;
I=imread('i_peppers_gray.bmp');
figure(1);imshow(I);
fftI=fft2(I);
sfftI=fftshift(fftI);
RRfdp1=real(sfftI);
IIfdp1=imag(sfftI);
a=sqrt(RRfdp1.^2+IIfdp1.^2);    %a为幅度
a=(a-min(min(a)))/(max(max(a))-min(min(a)))*225;    %将a对应到0-255
figure(2);imshow(real(a));
b=angle(fftI);figure(3);imshow(real(b)); %显示相位
theta=30;RR1=a*cos(theta);II1=a*sin(theta);
fftI1=RR1+i.*II1;C=ifft2(fftI1)*255; %重构幅度
figure(4);imshow(real(C));
MM=150;RR2=MM*cos(angle(fftI));II2=MM*sin(angle(fftI));
fftI2=RR2+i.*II2;D=ifft2(fftI2);    %重构相位
figure(5);imshow(real(D));
```



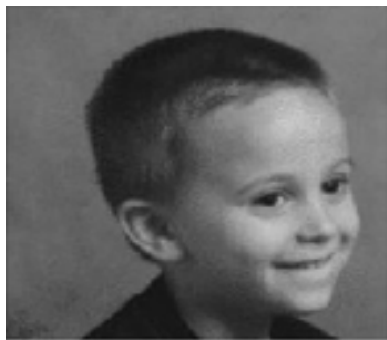
5、 图像傅里叶变换实例

对图7（a）进行离散傅里叶变换，得出幅值谱图（b），相位谱图（d）及幅值谱重构图像图（c），相位谱重构图像图（e）。从实验结果可以看出，从幅值谱图像中得到的信息比在相位谱图像中得到的信息多，但对幅值谱图像重构后，即忽略相位信息，将其设为0，所得到的图像与原始图像相比，结果差别很大；而对相位谱图像重构后，及忽略幅值信息，将其设为常数，可以看出图像的基本轮廓来。



例：5、图像傅里叶变换实例

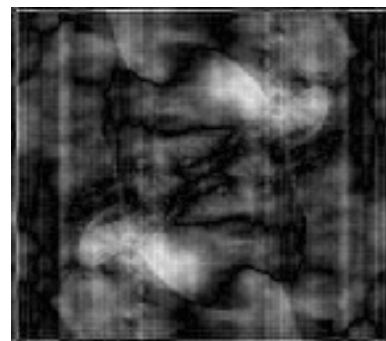
男孩原图像



美女原图像



男孩的幅度谱和美女的相位谱组合 美女的幅度谱和男孩的相位谱组合





```
I1=imread('lena2.jpg');
J1=imread('boy1.jpg');
J1= rgb2gray(J1);%如果是灰度图就不用先变换
I1= rgb2gray(I1);%如果是灰度图就不用先变换
If = fft2(I1);Jf = fft2(J1);
% 分别求幅度谱和相位谱
FAi = abs(If);FPi = angle(If);
FAj = abs(Jf);FPj = angle(Jf);
% 交换相位谱并重建复数矩阵
IR = FAi .* cos(FPj) + FAi.* sin(FPj) .* i;
JR = FAj .* cos(FPi) + FAj.* sin(FPi) .* i;
% 傅立叶反变换
IR1= abs(ifft2(IR));JR1= abs(ifft2(JR));
% 显示图像
subplot(2,2,1);imshow(J1);
title('男孩原图像');subplot(2,2,2);
imshow(I1);title('美女原图像');
subplot(2,2,3);imshow(IR1, []);
title('男孩的幅度谱和美女的相位谱组合');
subplot(2,2,4);imshow(JR1, []);
title('美女的幅度谱和男孩的相位谱组合');
```



3.4 离散余弦变换

一维离散余弦变换的定义由下式表示

$$F(0) = \frac{1}{\sqrt{N}} \sum_{x=0}^{N-1} f(x)$$

$$F(u) = \sqrt{\frac{2}{N}} \sum_{x=0}^{N-1} f(x) \cos \frac{(2x+1)u\pi}{2N}$$

式中 $F(u)$ 是第 u 个余弦变换系数， u 是广义频率变量， $u = 1, 2, 3, \dots, N-1$ ； $f(x)$ 是时域 N 点实序列。



3.4 离散余弦变换

一维离散余弦反变换由下式表示

$$f(x) = \sqrt{\frac{1}{N}} F(0) + \sqrt{\frac{2}{N}} \sum_{u=1}^{N-1} F(u) \cos \frac{(2x+1)u\pi}{2N}$$



3.4 离散余弦变换

由一维离散余弦变换 (*1-D DCT*) 可以很容易推广到二维余弦离散变换, 由下式表示:

$$F(0,0) = \frac{1}{N} \sum_{x=0}^{N-1} \sum_{y=0}^{N-1} f(x,y)$$

$$F(0,v) = \frac{\sqrt{2}}{N} \sum_{x=0}^{N-1} \sum_{y=0}^{N-1} f(x,y) \cdot \cos \frac{(2y+1)v\pi}{2N}$$



3.4 离散余弦变换

$$F(u,0) = \frac{\sqrt{2}}{N} \sum_{x=0}^{N-1} \sum_{y=0}^{N-1} f(x,y) \cdot \cos \frac{(2x+1)u\pi}{2N}$$

$$F(u,v) = \frac{2}{N} \sum_{x=0}^{N-1} \sum_{y=0}^{N-1} f(x,y) \cdot \cos \frac{(2x+1)u\pi}{2N} \\ \cdot \cos \frac{(2y+1)v\pi}{2N}$$



3.4 离散余弦变换

上式是正变换公式。其中 $f(x, y)$ 是空间域二维向量之元素。 $x, y = 0, 1, 2, \dots, N-1$, $F(u, v)$ 是变换系数阵列之元素。式中表示的阵列为 $N \times N$

二维离散余弦反变换由下式表示:

$$\begin{aligned} f(x, y) = & \frac{1}{N} F(0, 0) + \frac{\sqrt{2}}{N} \sum_{v=1}^{N-1} F(0, v) \cos \frac{(2y+1)v\pi}{2N} \\ & + \frac{\sqrt{2}}{N} \sum_{u=1}^{N-1} F(u, 0) \cos \frac{(2x+1)u\pi}{2N} \\ & + \frac{2}{N} \sum_{u=1}^{N-1} \sum_{v=1}^{N-1} F(u, v) \cos \frac{(2x+1)u\pi}{2N} \cdot \cos \frac{(2y+1)v\pi}{2N} \end{aligned}$$



3.4 离散余弦变换

式中的符号意义同正变换式一样。上式是离散余弦变换的解析式定义。更为简洁的定义方法是采用矩阵式定义，则一维离散余弦变换的矩阵定义式可写成如下形式

$$[F(u)] = [A][f(x)]$$

同理，可得到反变换展开式

$$[f(x)] = [A'] [F(u)]$$



3.4 离散余弦变换

类似地，二维离散余弦变换也可以写成矩阵式

$$[F(u, v)] = [A][f(x, y)][A']$$

$$[f(x, y)] = [A'] [F(u, v)] [A]$$



3.4 离散余弦变换

式中 $[f(x, y)]$ 是空间域数据阵列, $[F(u, v)]$ 是变换系数阵列, $[A]$ 是系数阵列, 变换矩阵 $[A]'$ 是 $[A]$ 的转置。

- 例:说明二维余弦正反变换在 $Matlab$ 中的实现。



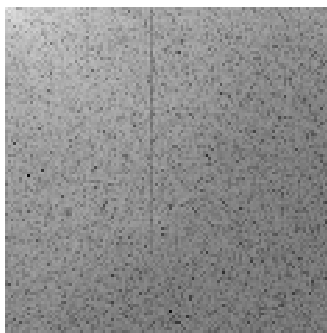
3.4 离散余弦变换

例:

```
RGB=imread('lena2.jpg');  
figure(1);subplot(131);imshow(RGB);  
I=rgb2gray(RGB);  
J=dct2(I);  
figure(1),subplot(132);imshow(log(abs(J)),[]); %余弦变换  
K=idct2(J)/255;%余弦反变换  
figure(1),subplot(133);imshow(K);
```

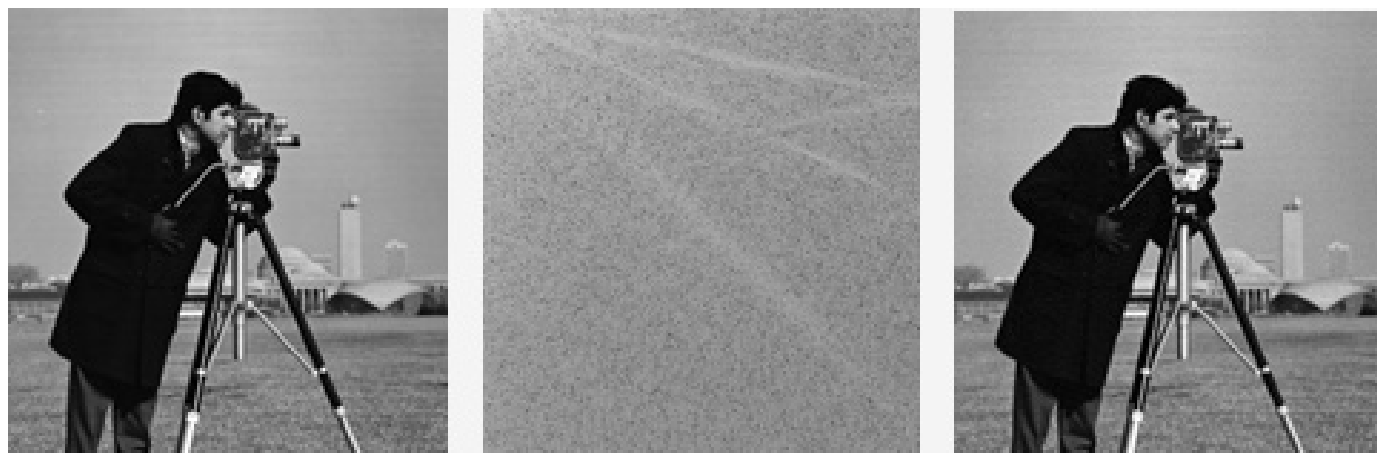


3.4 离散余弦变换





3.4 离散余弦变换



(a) 原始图像

(b) 余弦变换系数

(c) 余弦反变换恢复图像

图1 二维离散余弦变换



3.4 离散余弦变换

由图4.13(b)可知，离散余弦变换具有很强的“能量集中”特性，能量主要集中在左角处，因此，在实际图像应用中，能量不集中的地方可在余弦编码中忽略，可通过对mask矩阵变换来实现，即将mask矩阵左上角置1，其余全部置0。然后通过离散余弦反变换后，图像得到恢复，图(c)恢复图像与图(a)原始图像基本相同。



3.4 离散余弦变换

- 例：用DCT变换作图象压缩的例子，求经压缩解压后的图象，结果如图4.14所示。



(a) 原始图像



(b) 压缩解压后的图像

图4.14 原始图像及其经压缩，解压缩后的图像



3.4 离散余弦变换

```
I=imread('lena2_1.jpg');  
[M,N]=size(I);%M=512,N=512  
figure(1);subplot(1,2,1);imshow(I);title('原始图像');  
I=im2double(I);
```

```
%生成标准DCT变化中的矩阵 ( $8 \times 8$ ) ,  
n=8;[cc,rr] = meshgrid(0:n-1);  
C= sqrt(2 / n) * cos(pi * (2*cc + 1) .* rr / (2 * n));  
C(1,:) =C(1,:) / sqrt(2);  
%光亮度量化表  
a =[16 11 10 16 24 40 51 61;  
12 12 14 19 26 58 60 55;  
14 13 16 24 40 57 69 56;  
14 17 22 29 51 87 80 62;  
18 22 37 56 68 109 103 77;  
24 35 55 64 81 104 113 92;  
49 64 78 87 103 121 120 101;  
72 92 95 98 112 100 103 99 ];
```



3.4 离散余弦变换

```
%分块做DCT变换 (8×8), DCT变换公式: 正变换:  $Y=CIC'$ ;  
for i=1:8:M  
    for j=1:8:N  
        P=l(i:i+7,j:j+7);  
        K=C*P*C';  
        l1(i:i+7,j:j+7)=K;  
        K=K./a;%量化  
        K(abs(K)<0.03)=0;  
        l2(i:i+7,j:j+7)=K;  
    end  
end  
figure(1);subplot(1,2,2);imshow(l1);title('DCT变换后的频域图像');  
figure(2);subplot(1,2,1);imshow(l2);title('量化后的频域图像');  
%分块做DCT反变换 (8×8), 逆变换:  $P=C'YC$ ;  
for i=1:8:M  
    for j=1:8:N  
        P=l2(i:i+7,j:j+7).*a;%反量化  
        K=C'*P*C;  
        l3(i:i+7,j:j+7)=K;  
    end  
end  
figure(2);subplot(1,2,2);imshow(l3);title('复原图像');
```



3.4 离散余弦变换

原始图像



DCT

变换后的频



量化后的频域图像



复原图像





小结 (CHAPTER SUMMARY)

本章主要介绍了数字图像处理中常见的几种变换，首先介绍了傅里叶变换，离散傅里叶变换，快速傅里叶变换的概念，性质和实际应用。其次还介绍了几种离散变换，有离散余弦变换等。

图像的傅里叶变换是使用最广泛的一种变换，在图像处理中起着关键的作用，也是理解其它变换的基础，可广泛地用于图像特征提取、图像增强等方面。



小结 (CHAPTER SUMMARY)

在图像增强方面虽有着广泛的应用，但由于运算过程中涉及到复数运算，所以在实时系统中很难使用；而离散余弦变换在图像压缩算法中获得了广泛的应用。把傅里叶变换的理论同其物理解释相结合，将有助于解决大多数图像处理问题。

Thank You !

